

Approximations algébriques des difféomorphismes de surfaces

Frédéric Mangolte (Angers)
collaborations avec
János Kollár (Princeton)
Johan Huisman (Brest)
Jérémy Blanc (Bâle)

Nantes, 17 septembre 2010

Approximation algébrique d'applications C^∞

Théorème (Weierstrass 1885)

Toute application $C^\infty f: \mathbb{R} \rightarrow \mathbb{R}$ peut être approchée par des polynômes sur tout compact.

$$S^1 := \{(x, y) \in \mathbb{R}^2, x^2 + y^2 = 1\}$$

Toute application $C^\infty f: S^1 \rightarrow S^1$ peut être approchée par des applications rationnelles

$$\Phi: (x, y) \mapsto \left(\frac{p_1(x, y)}{q_1(x, y)}, \frac{p_2(x, y)}{q_2(x, y)} \right)$$

p_i, q_i : polynômes, $q_i(x, y) \neq 0$ pour $(x, y) \in S^1$

Question

Si f est un difféomorphisme (f^{-1} existe et est C^∞), existe-t-il une approximation par des applications rationnelles Φ telles que Φ^{-1} existe et soit rationnelle ?

Attention : $x \mapsto x + x^3$ difféomorphisme de \mathbb{R} , mais il n'y a pas de théorème des fonctions implicites dans le cadre algébrique.

Le(s) cercle



$$-x(1-x-y)^3 + y^2(1-x-y)^2 - \frac{1}{2}xy^3 = 0$$

$$S^1 := \{(x, y) \in \mathbb{R}^2, x^2 + y^2 = 1\}$$

$\text{Aut}(S^1) :=$ difféomorphismes birationnels de S^1 .

Réponse

$\text{Aut}(S^1)$ n'est pas dense dans $\text{Diff}(S^1)$.

Preuve

$\text{Diff}(S^1)$ dimension infinie, $\text{Aut}(S^1) \cong PGL(2, \mathbb{R})$ dimension finie.

Remarque

$$X := \{(x, y) \in \mathbb{R}^2, x^4 + y^4 = 1\},$$

X difféomorphe à S^1 , donc $\text{Diff}(X) \cong \text{Diff}(S^1)$

mais $\text{Aut}(X)$ fini $\not\cong \text{Aut}(S^1)$.

Réponse complète

\forall courbe algébrique réelle $X \sim S^1$, $\overline{\text{Aut}(X)} \neq \text{Diff}(X)$.

Variété algébrique réelle

:= sous-variété de \mathbb{R}^n zéro de polynômes à coefficients réels.

Définition

Soit M variété C^∞ compacte connexe, un **modèle algébrique réel** de M est une variété algébrique réelle X difféomorphe à M .

Théorème (Nash 1952, Tognoli 1973)

$\forall M, \exists$ modèle algébrique réel $X \sim M$.

X, Y variétés algébriques réelles, $f: X \rightarrow Y$ application,

f **algébrique** := (i) rationnelle réelle (ii) définie $\forall x \in X$,

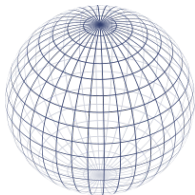
f **isomorphisme** := (i) algébrique, (ii) $\exists f^{-1}$ (iii) f^{-1} algébrique,
 f induit alors un difféomorphisme $X \sim Y$.

$\text{Aut}(X)$:= groupe des automorphismes algébriques $X \rightarrow X$.

Surfaces

Rappel classification des surfaces compactes :

Orientables : sphère S^2 , tore $S^1 \times S^1$, surfaces de genre $g \in \mathbb{N}$.



Non-orientables : plan projectif, bouteille de Klein, $h \in \mathbb{N}^*$.



Surfaces

Théorème (Kollár, Mangolte 2009)

- ▶ $M = S^2$, $S^1 \times S^1$, ou une surface non orientable quelconque,
 $\Rightarrow \exists$ modèle algébrique réel $X \sim M$ tel que $\overline{\text{Aut}(X)} = \text{Diff}(X)$
pour la topologie C^∞ .
- ▶ M surface orientable de genre ≥ 2 ,
 $\Rightarrow \forall$ modèle $X \sim M$, $\text{Aut}(X)$ n'est pas dense dans $\text{Diff}(X)$,
pour la topologie C^0 .

Densité I : Sphère

$$S^2 := \{(x, y, z) \in \mathbb{R}^3, x^2 + y^2 + z^2 = 1\}$$

Théorème (Lukackiř 1977)

$SO(m+1, 1)$ est un sous-groupe fermé maximal de $\text{Diff}_0(S^m)$.

Corollaire

Le groupe $\text{Aut}(S^2)$ est dense dans $\text{Diff}(S^2)$.

Preuve

$$SO(3, 1) \subsetneq \text{Aut}_0(S^2) \subset \text{Diff}_0(S^2).$$

où $\text{Diff}_0(S^2) \subset \text{Diff}(S^2)$ est la composante neutre et

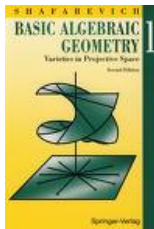
$$\text{Aut}_0(S^2) = \text{Diff}_0(S^2) \cap \text{Aut}(S^2)$$

Densité II : Éclatement centré en un point

X surface algébrique réelle

$p \in X$, $\pi: B_p X \rightarrow X$, $E := \pi^{-1}(p)$,

π induit un difféomorphisme $B_p X \setminus E \xrightarrow{\sim} X \setminus \{p\}$



\exists un voisinage de E ruban de Möbius dont l'image par π est un disque centré en p .

Densité III : Surfaces non orientables

Des modèles algébriques réels pour les surfaces non orientables :

$X_h := B_{p_1, \dots, p_h} S^2$, la sphère éclatée en h points,

Exemples $X_1 \sim$ plan projectif, $X_2 \sim$ bouteille de Klein.

Théorème (K., M. 2009)

$\forall h > 0$, $\text{Aut}(X_h)$ est dense dans $\text{Diff}(X_h)$ pour la topologie C^∞ .

Principales étapes de la preuve :

1. Points marqués

$\text{Aut}(S^2, p_1, \dots, p_h)$ est dense dans $\text{Diff}(S^2, p_1, \dots, p_h)$ pour des points deux à deux distincts $p_1, \dots, p_h \in S^2$.

2. $\text{Aut}_0(X_h)$ est dense dans $\text{Diff}_0(X_h)$.

3. Mapping class group $\mathcal{M}(X_h) = \pi_0(\text{Diff}(X_h))$

\exists surjection $\text{Aut}(X_h) \twoheadrightarrow \mathcal{M}(X_h)$.

Résultats complémentaires

1. Une autre indication que $\text{Aut}(X_h)$ est un "gros" groupe.

Théorème (Huisman, Mangolte 2009)

$\text{Aut}(X_h)$ agit n -transitivement sur X_h , pour tout n .

2. Une surface algébrique réelle X n'est pas forcément connexe. Les théorèmes K.-M. et H.-M. que nous venons d'évoquer concernent le cas $\#\pi_0(X) = 1$.

Théorème (Blanc, Mangolte 2010)

*$\forall n$, $\text{Aut}(X)$ agit n -transitivement sur chaque composante de X
 $\Leftrightarrow \#\pi_0(X) \leq 3$ et X est géométriquement rationnelle.*

Si $\#\pi_0(X) > 4$, $\text{Aut}(X)$ n'est pas dense dans $\text{Diff}(X)$.

Si $\#\pi_0(X) = 3$, ou 4, $\text{Aut}(X)$ n'est pas dense dans $\text{Diff}(X)$ pour la plupart des surfaces, et la liste est explicite.

La question de densité reste ouverte pour une classe très particulière de surfaces telles que $\#\pi_0(X) = 2$.

Surfaces non orientables :

1. Points marqués

Théorème (H., M. 2009)

$\text{Aut}(S^m)$ agit n -transitivement sur S^m , pour tout n et tout $m > 1$.

Preuve (pour $m = 2$).

Un morphisme algébrique $A: [-1, 1] \rightarrow SO(2)$ induit un twist algébrique $\Phi_A \in \text{Aut}(S^2)$, $\Phi_A(x, y, z) = (x, (y, z) \cdot A(x))$

Après envoi des points près du "pôle nord", déplacement vers n'importe quelle position par twist autour des axes x et y .

Corollaire

$\text{Aut}(S^2, p_1, \dots, p_h)$ est dense dans $\text{Diff}(S^2, p_1, \dots, p_h)$ pour des points deux à deux distincts $p_1, \dots, p_h \in S^2$.

Preuve

Approximation dans $\text{Aut}(S^2)$, puis rappel des p_j .

Surfaces non orientables :

2. $\overline{\text{Aut}_0(X_h)} = \text{Diff}_0(X_h)$.

La transitivité forte de $\text{Aut}(X_h)$ induit beaucoup d'isomorphismes de X_h sur la sphère éclatée en h points :

Soit $x \in X_h$, $\exists \Phi: X_h \xrightarrow{\cong} B_{p_1, \dots, p_h} S^2$ tel que $\Phi(x) \in B_{p_1, \dots, p_h} S^2 \setminus \{E_1, \dots, E_h\}$.

Compacité $\Rightarrow \exists$ recouvrement ouvert fini $X_h = \cup_i W_i$ et des contractions $\pi_i: X_h \rightarrow S^2$ dont le lieu exceptionnel évite W_i .

Lemme de fragmentation :

$\phi \in \text{Diff}_0(X_h)$, homotope à l'identité \Rightarrow

$$\exists \phi_1 \circ \dots \circ \phi_r = \phi \text{ adapté à } \{W_i\}$$

En particulier, $\pi_i: X_h \rightarrow S^2$ est un isomorphisme au voisinage de $\text{Supp } \phi_i$.

Chaque ϕ_i descend en $\phi'_i \in \text{Diff}(S^2, p_1^i, \dots, p_h^i)$, on approche ϕ'_i dans $\text{Aut}(S^2, p_1^i, \dots, p_h^i)$ puis on relève à X_h .

Transformations de Cremona (~ 1860)

La plus simple sur \mathbb{P}^3 est $(x : y : z : t) \mapsto \left(\frac{1}{x} : \frac{1}{y} : \frac{1}{z} : \frac{1}{t}\right)$
 $= (yzt : ztx : txy : xyz)$

Lieu de base = 6 arêtes d'un tétraèdre T .

Sommets $\rightarrow (1, \pm i, 0, 0), (0, 0, 1, \pm i)$:

$\sigma : (x : y : z : t) \mapsto ((x^2 + y^2)z : (x^2 + y^2)t : (z^2 + t^2)x : (z^2 + t^2)y)$

σ difféomorphisme de $\mathbb{P}^3(\mathbb{C}) \setminus T$

Chaque quadrique

$Q_{abcdef} := a(x^2 + y^2) + b(z^2 + t^2) + cxz + dyt + ext + fyz$

(i) passe par les sommets de T ,

(ii) ne possède pas de points réels sur T .

$\sigma : Q_{abcdef}(\mathbb{R}) \xrightarrow{\cong} Q_{abcdfe}(\mathbb{R})$

Action sur les sphères

$$S^2 := \{(x, y, z) \in \mathbb{R}^3, x^2 + y^2 + z^2 = 1\}$$

$$Q_0 := \{(x, y, z, t) \in \mathbb{P}^3(\mathbb{R}), x^2 + y^2 + z^2 - t^2 = 0\}$$

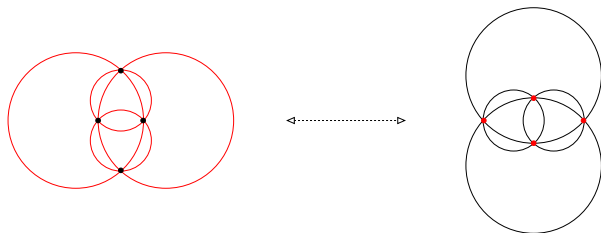
Considérons Q_{abcdef} avec $Q_{abcdef}(\mathbb{R}) \sim S^2$, $\Rightarrow Q_{abcdfe}(\mathbb{R}) \sim S^2$, alors les deux sont équivalentes à Q_0 par un changement linéaire de coordonnées.

On obtient : $\sigma_{abcdef} : S^2 \xrightarrow{\cong} S^2$, bien défini à $O(3, 1)$ près.

Théorème (K., M. 2009)

Les transformations de Cremona avec points bases imaginaires et $O(3, 1)$ engendrent $\text{Aut}(S^2)$.

Transformations de Cremona avec points bases réels



Se factorise :

$$S^2 \longleftarrow B_{p_1, \dots, p_4} S^2 \cong B_{q_1, \dots, q_4} S^2 \longrightarrow S^2$$

Cremona $\sigma : B_{p_1, \dots, p_4} S^2 \cong B_{q_1, \dots, q_4} S^2$, $\exists \Phi \in \text{Aut}(S^2)$ tel que $\Phi(p_i) = q_i$, on obtient $\Phi \circ \sigma$:

$$B_{p_1, \dots, p_4} S^2 \xrightarrow{\sigma} B_{q_1, \dots, q_4} S^2 \xrightarrow{\Phi} B_{p_1, \dots, p_4} S^2$$

Proposition

Les transformations de Cremona agissent transitivement sur les classes d'isotopie de h rubans de Möbius disjoints dans X_h .

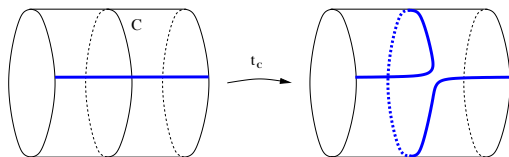
Le mapping class group

M surface compacte lisse

$$\mathcal{M}(M, q_1, \dots, q_n) := \pi_0(\text{Diff}(M, q_1, \dots, q_n))$$

Théorème (Dehn 1938)

Lorsque M est orientable, \mathcal{M} est engendré par les twists de Dehn autour des courbes simples fermées :



Lorsque M est non orientable, les twists de Dehn engendrent un sous-groupe d'indice 2 dans \mathcal{M} , il manque les cross-cap slides.

Réduction de l'ensemble des générateurs de $\mathcal{M}(X_h)$

Rappel $X_h = B_{p_1, \dots, p_h} S^2$

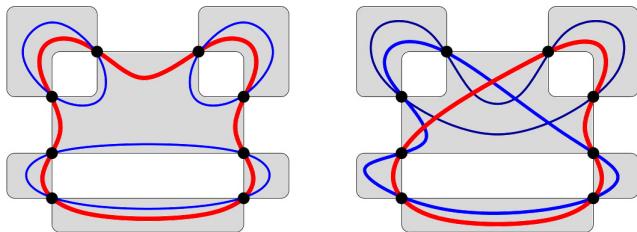
Théorème (Chillingworth (1969), Korkmaz (2002))

Les twists autour des relèvements de courbes simples fermées de S^2 passant par un nombre pair des p_i suffisent pour engendrer \mathcal{M} .

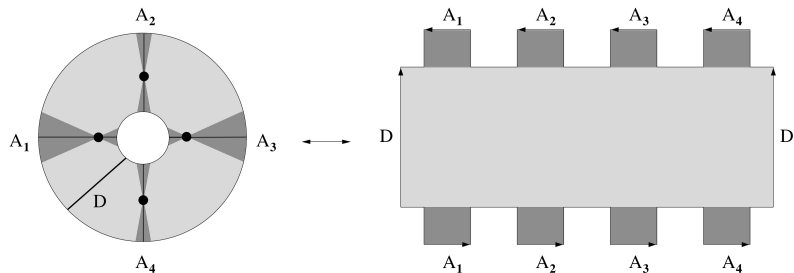
Corollaire (A l'aide de la relation de la lanterne)

Les twists de Dehn autour des relèvements de courbes simples fermées de S^2 passant par 0, 2 ou 4 des p_i suffisent.

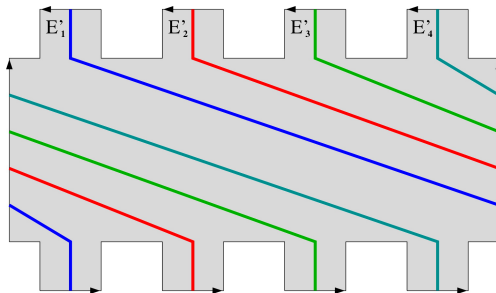
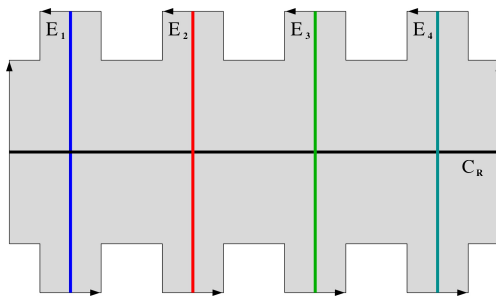
Preuve du corollaire pour 8 points



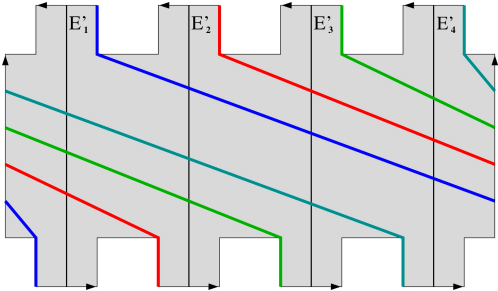
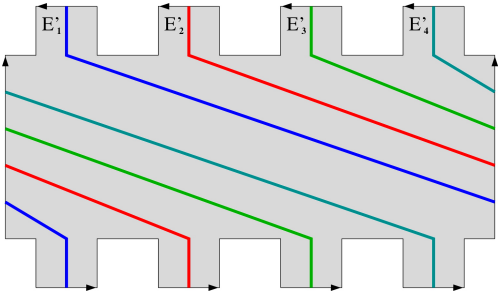
Deux modèles de l'anneau éclaté en 4 points



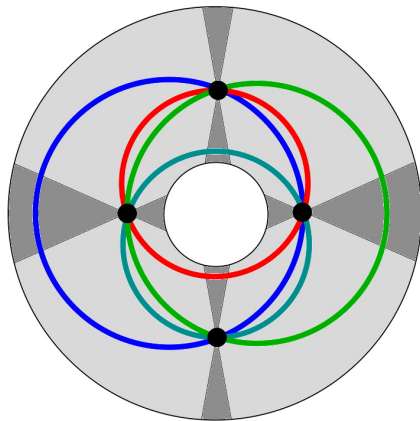
4 courbes exceptionnelles et twist de Dehn autour de C_R



Déformation



Images des 4 courbes exceptionnelles

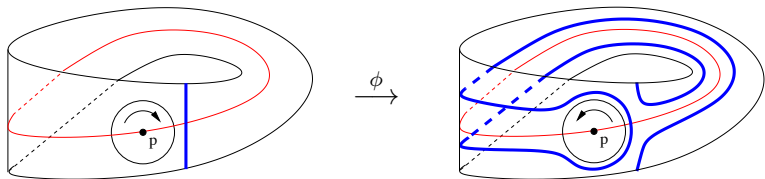


La transformation de Cremona avec 4 points bases réels représente le twist de Dehn autour de C_R passant par les 4 points bases.

Cross-cap slide ($h \geq 2$)

Soit $X_h = B_{q,p,p_3,\dots,p_h}S^2$, et $D \subset S^2$ un disque contenant q, p et aucun des autres points.

Considérons le ruban de Möbius $B_q D$ et faisons glisser un petit disque autour de la courbe rouge :



Enfin recollons sur $B_q S^2 \setminus B_q D$.

Réalisé par une transformation de Cremona avec 2 points bases réels.

Théorème

$\forall h$, les transformations de Cremona avec 4, 2 ou 0 points bases réels engendrent le mapping class group (non orientable) $\mathcal{M}(X_h)$.

Remarque essentielle

Les modèles X_h sont-ils trop particuliers ?

On appelle surface rationnelle toute surface birationnelle à la sphère quadrique S^2 .

Théorème (Biswas, Huisman 2007)

Soient X et Y deux surfaces rationnelles, alors X est isomorphe à Y si et seulement si X est difféomorphe à Y .